

6. Ю. С. Липатов, А. Е. Нестеров, Л. М. Сергеева, Л. В. Карабанова, Т. Д. Игнатова, Докл. АН СССР, 220, 637, 1975.
  7. В. А. Вонсяцкий, Г. Я. Боярский, В сб. Новые методы исследования полимеров, «Наукова думка», 1975, стр. 169.
  8. М. С. Акутин, А. Н. Шабадаш, М. Л. Кербер, И. О. Стальнова, Е. Е. Алексеев, Высокомолек. соед., A16, 659, 1974.
- 

УДК 541.64:548.23

## ВЛИЯНИЕ СТЕПЕНИ КРИСТАЛЛИЧНОСТИ ПОЛИЭТИЛЕНА НА ЕГО ДИФФУЗИОННОЕ ВЗАИМОДЕЙСТВИЕ С ПОЛИВИНИЛБУТИРАЛЕМ

*А. Д. Яковлев, Н. З. Евтиков, М. А. Мартынов,  
Г. Т. Ткаченко, И. В. Баранец*

Композиции из смесей полимеров находят все более широкое применение во многих областях, связанных с переработкой полимерных материалов. При этом нередко используются смеси кристаллических полимеров друг с другом или с аморфными, в которых заранее предполагается термодинамическая несовместимость. В таких случаях, как указывают в работах [1, 2], не исключается взаимодействием молекул аморфных участков, которое приводит к образованию диффузационного слоя на границе контакта полимеров. Впервые электронно-микроскопические исследования зоны контакта как совместимых, так и несовместимых полимеров были проведены Воюцким и Каменским [3, 4]. Авторы наблюдали диффузционно-размытую границу раздела между полимерами, глубина которой зависит от степени термодинамического сродства полимеров.

Такое взаимодействие было обнаружено в смесях аморфного полимера — поливинилбутираля (ПВБ) с кристаллическим ПЭ и показано, что образуется диффузионный слой за счет аморфных участков обоих компонентов [5].

Основываясь на вышеизложенном, можно предположить, что глубина диффузионного (переходного) слоя в смесях кристаллических полимеров с аморфными будет зависеть от соотношения кристаллической и аморфной фаз в кристаллизующемся полимере.

Цель настоящей работы — исследование влияния степени кристалличности  $X$  ПЭ на глубину протекания диффузионных процессов в его смесях с ПВБ.

В работе использовали порошки ПЭ высокого (ПЭВД), низкого (ПЭНД) и среднедавления (ПЭСД) со степенью кристалличности, равной 36, 48 и 82% соответственно, и ПВБ марки ПШ. При расчете  $X$  использовали методику [6].

О глубине диффузионных процессов судили по размытости зоны контакта полимеров в смесях под электронным микроскопом и косвенно по величине адгезии пленок (склеек).

Смеси ПЭ с ПВБ готовили «сухим» смешением порошков в шаровой мельнице. Пленки ПЭ, ПВБ и их смесей приготавливали сплавлением порошков при  $220^\circ$  в течение 5 мин. Адгезию ПЭ к ПВБ оценивали по усилию расслаивания склеек из пленок разнородных полимеров на разрывной машине РМИ-5 при скорости расслаивания 70 мм/мин. Склейки получали путем свободного наложения пленок друг на друга с последующей выдержкой при  $220^\circ$  в течение 5 мин.

Электронно-микроскопические снимки границы контакта полимеров в смесях были получены на микроскопе JEM-6A. Для исследования использовали двухступенчатые платино-угольные реплики со свежеприготовленных сколов.

Проведенные опыты по изучению адгезии ПВБ к ПЭ с различной  $X$  показали (рис. 1), что пленки ПВБ с ПЭСД склеек не образуют, в то время

К статье А. Д. Яковлева и др., к стр. 758

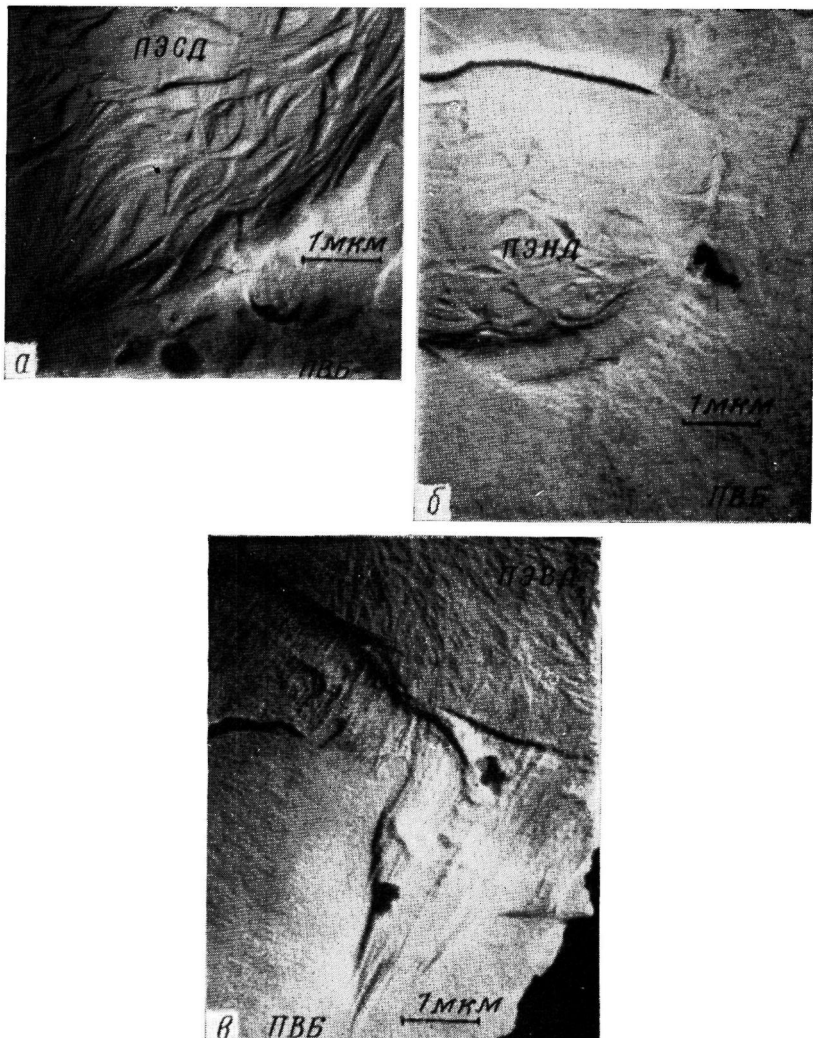


Рис. 2. Электронно-микроскопические снимки границы контакта в смесях ПВБ — ПЭСД (а), ПВБ — ПЭНД (б) и ПВБ — ПЭВД (в)

как пленки ПВБ с ПЭВД и ПЭНД образуют склейки с высокой адгезионной прочностью. Если предположить, что взаимодействие между кристаллическим полимером и аморфным протекает по аморфным участкам, то полученные результаты закономерны.  $f \cdot 10^3 \text{ гс/см}$

Эта закономерность, однако, не проявляется в случае других ПЭ. Из рис. 1 видно, что усилия расслаивания склеек ПВБ — ПЭНД несколько выше, чем склеек ПВБ — ПЭВД, в то время как, исходя из вышеуказанного предположения, адгезия должна быть больше в системе ПВБ — ПЭВД. Такое несоответствие становится понятным, если учесть характер адгезионного разрушения склеек. Ранее [7] было показано, что при расслоении таких пленок происходит когезионное разрушение склеек по ПЭ.

Так как когезионная прочность ПЭНД выше, чем ПЭВД (в нашем случае 215 и  $140 \text{ кГ/см}^2$  соответственно), то этот показатель, по-видимому, и определяет работу расслаивания изученных пленок. Можно считать, что величина адгезионной прочности исследованных материалов (кристаллический полимер — аморфный) определяется двумя основными факторами: кристаллической упорядоченностью первого полимера и когезионной прочностью материала в пограничном слое.

Переходная, диффузионная зона, как отмечено в [8], образуется за счет взаиморастворения полимеров на границе раздела. Следовательно, для смесей кристаллического полимера с аморфным образование переходного слоя должно приводить к разупорядочению кристаллических областей кристаллизующегося полимера, которое должно быть тем выше, чем больше глубина диффузионного слоя.

С целью доказательства этого предположения были проведены рентгеноструктурные исследования смесей полимеров, взятых в соотношении 1 : 1. Опыты показали, что в этом случае наиболее заметное уменьшение  $X$  (по сравнению с аддитивными значениями) наблюдается в смеси ПВБ с ПЭВД и ПВБ с ПЭНД, а в случае ПЭСД присутствие ПВБ практически не сказывается на величине  $X$  (таблица).

#### Степень кристалличности исследованных пленок

Смеси полимеров	Степень кристалличности $X$ , %	
	Расчетные значения (в предположении аддитивности)	Экспериментальные значения
ПВБ — ПЭВД	18	9
ПВБ — ПЭНД	22	15
ПВБ — ПЭСД	43	41

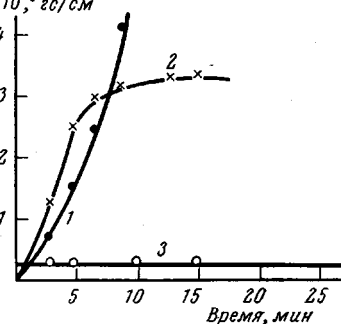


Рис. 1. Зависимость усилия расслаивания  $f$  от времени выдержки склеек для систем ПВБ — ПЭНД (1), ПВБ — ПЭВД (2) и ПВБ — ПЭСД (3)

Прямыми доказательством влияния степени кристалличности ПЭ на его диффузионное взаимодействие с ПВБ явились данные электронно-микроскопических исследований (рис. 2). На микрофотографии (рис. 2, а) показана граница контакта ПВБ с ПЭСД, из которой видно, что взаимной диффузии полимеров не наблюдается. В смеси ПВБ с ПЭНД (рис. 2, б) заметно прорастание фибрillлярной структуры ПЭ в аморфный ПВБ (толщина диффузионного слоя составляет 0,4—0,6 мкм). Наиболее отчет-

ливо переходная зона шириной от 1 до 3 мкм проявляется в смеси ПВБ с ПЭВД (рис. 2, в), т. е. с ПЭ, имеющими наименьшую степень кристалличности (см. вклейку).

Ленинградский технологический  
институт им. Ленсовета

Поступила в редакцию  
6 IV 1976

#### ЛИТЕРАТУРА

1. R. E. Robertson, D. K. Paul, J. Appl. Polymer Sci., 17, 2579, 1973.
2. Э. Н. Нагуманова, Х. Г. Миндиляров, В. С. Ионкин, Химия и химич. технология, 16, 1568, 1973.
3. А. Н. Каменский, Н. М. Фодиман, С. С. Воюцкий, Докл. АН СССР, 156, 1364, 1964.
4. С. С. Воюцкий, А. Н. Каменский, Н. М. Фодиман, Механика полимеров, 1966, 446.
5. А. Д. Яковлев, Н. З. Евтуков, Г. Т. Ткаченко, М. А. Мартынов, А. И. Марей, Высокомолек. соед., Б16, 878, 1974.
6. М. А. Мартынов, К. А. Вылегжанина, Рентгенография полимеров, «Химия», 1972, стр. 15.
7. Н. З. Евтуков, Диссертация, 1974.
8. В. Е. Гуль, В. Н. Кулезнев, Структура и механические свойства полимеров, «Высшая школа», 1972, стр. 295.

УДК 532.77:541.64:539.2

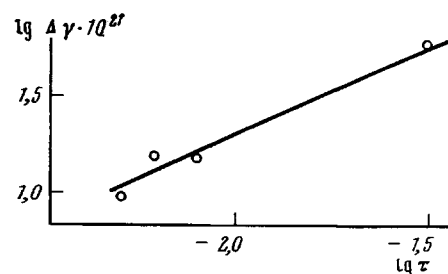
### К ВОПРОСУ О ФОРМЕ НАДМОЛЕКУЛЯРНЫХ СТРУКТУР В РАСТВОРАХ ПОЛИВИНИЛОВОГО СПИРТА

В. П. Будтов, Н. А. Домничева, А. Я. Сорокин

В литературе имеется достаточно большое число работ, посвященных изучению структурообразования в растворах полимеров, в частности в растворах ПВС, однако до настоящего времени вопрос о форме частиц надмолекулярного порядка не решен. Так, например, в работах [1, 2] высказывается предположение, что надмолекулярные структуры в системе ПВС – вода имеют сферическую форму. На основании исследования

зависимости величины двойного лучепреломления в потоке (ДЛП) от градиента скорости  $g$  установлено, что в водном растворе ПВС образуются анизодиаметрические частицы [3, 4].

Теоретический анализ временных зависимостей величины оптической анизотропии надмолекулярных структур  $\Delta\gamma$  и времени релаксации  $\tau$  показывает, что имеется прямая возможность определения формы частицы \*). Действительно, если рост частиц контролируется процессом на поверхности частица – раствор, то



Зависимость  $\Delta\gamma$  ( $\text{см}^3$ ) от  $\tau$  (сек.) для растворов ПВС в смеси вода – этиловый спирт. Данные приведены для интервала времени 1–17 суток

для вытянутых эллипсоидов ( $p > 10$ , где  $p = L/a$ ;  $L$  – максимальная ось эллипса,  $a$  – его поперечник)  $\tau \sim t^3$  и  $\Delta\gamma \sim t$  и для сплюснутых эллипсоидов ( $p < 0,1$ )  $\tau \sim t^3$  и  $\Delta\gamma \sim t^2$ . Для диффузионно-контролируемого роста частиц имеем: для вытянутых эллипсоидов  $\tau \sim t^{1,5}$  и  $\Delta\gamma \sim t^{0,5}$  и для сплюснутых  $\tau \sim t^{1,5}$  и  $\Delta\gamma \sim t$ . Анализируя совместно временные зависимости  $\Delta\gamma(t)$  и  $\tau(t)$ , получаем для удлиненных эллипсоидов  $\Delta\gamma \sim t^{1/3}$  и для сплюснутых

\* Величины  $\Delta\gamma$  и  $\tau$  надмолекулярных структур в растворе могут быть определены с помощью двойного лучепреломления в поле сдвиговых напряжений [5].